



ارائه یک الگوریتم براساس روش ساختاری جهت طراحی سیستم عیب یاب کمپرسور در یک موتور توربوجت

علی شهریاری^۱، مهرداد بزارزاده^۲، حامد بدیمه^۳

دانشکده مکانیک و هوافضا - دانشگاه صنعتی مالک اشتر

چکیده

به منظور بهبود قابلیت اعتماد نتایج عیب یابی، این مسئله بسیار مهم است که داده‌های اندازه‌گیری شده قبل از ورود به سیستم عیب یابی اصلاح و خالص سازی شوند. در این مقاله ابتدا با ایجاد مدل ریاضی موتور و در نظر گرفتن زیر سیستم کمپرسور معادلات عملکردی مربوطه استخراج گردیده و سپس با بکارگیری آنها در یک الگوریتم بر اساس روش ساختاری خطاهای سنسورهای موجود که قابل ایزوله شدن می‌باشد شناسایی شده‌اند. این الگوریتم برای کل مدل ریاضی موتور و سنسورهای فعال در آن قابل گسترش است.

واژه‌های کلیدی: روش ساختاری- سیستم عیب یاب- موتور توربوجت

مقدمه

تشخیص عیب توزین گاز بر پایه تحلیل اختلافات پارامترهای اجرا از شرایط طرح می‌باشد. چنین اطلاعاتی تنها از روی اندازه‌گیری یک سری از پارامترهای عملکردی قابل دسترسی است. صحت کلیه سیستم‌های عیب یابی به صورت جزئی توسط کیفیت اندازه‌گیری‌ها تعیین می‌شود. متأسفانه داده‌های اندازه‌گیری شده معمولاً آنوده به پارازیت سنسور، اختلالات، فرسودگی ابزار و خطاهای آزمایشگر است. به منظور بهبود قابلیت اعتماد در نتایج عیب یابی این مسئله بسیار مهم است که داده‌های اندازه‌گیری شده قبل از ورود به سیستم عیب یابی اصلاح و خالص سازی شوند.

مدل ریاضی موتور و زیر سیستم شبیه ساز کمپرسور

به منظور مدل سازی رفتار دینامیکی این سیستم، لازم است عملکرد تک تک اجزای آن توسط روابط دیفرانسیل حاکم بر آن‌ها شبیه سازی گردد. این روابط در اصل همان قوانین پایستاری جرم، مومنتوم و انرژی می‌باشند که با در نظر گرفتن معادلات دینامیکی و ترمودینامیکی حاکم بر اجزاء سیستم و نیز هماهنگی اجزاء از نظر کار و جریان، مدل ریاضی سیستم را تشکیل می‌دهند. از آنجا که پرداختن به روابط حاکم بر مدل ریاضی موتور هدف و نیاز الگوریتم نمی‌باشد از این مدل ریاضی زیر سیستم شبیه ساز کمپرسور را در نظر می‌گیریم. این زیر سیستم بادرایافت اطلاعات حاصل از دیگر زیر سیستم‌های مدل پارامترهای خروجی کمپرسور را تعیین می‌نماید. نمای کلی از این زیر سیستم در شکل ۱ آمده است.

تحلیل الگوریتم بر اساس روش ساختاری

با استخراج معادلات عملکردی کمپرسور و به کارگیری آن در یک الگوریتم بر اساس روش ساختاری می‌توان خطاهای سنسورهای موجود که قابل ایزوله شدن هستند را شناسایی کرده‌اند.

متغیرهایی که با عنوان X مشخص شده‌اند، مبین مقدار واقعی پارامتر مورد نظر بوده و نامعلومند. متغیرهای با عنوان Δ متغیرهایی هستند که سنسور برای پارامتر مربوطه نشان می‌دهد و دارای مقادیر معلوم می‌باشند. نهایتاً، متغیرهای با عنوان Δ نشان دهنده میزان خطای سنسور بوده و برابر با اختلاف بین متغیرهای X و Δ می‌باشد. به این ترتیب پارامترهای جدول ۱ برای کمپرسور قابل تعریف می‌باشند و معادلات ۵ تا ۶، در جدول ۲ شامل پارامترهای اساسی در روابط حاکم بر شبیه‌سازی زیر سیستم کمپرسور بصورتی قابل کاربرد در روش ساختاری می‌باشد.

^۱کارشناس هوافضا. al.shahriari@gmail.com

^۲استادیار. bazazzadeh@mut-es.ac.ir

^۳دانشجویی کارشناسی ارشد هوافضا. hamedbadih@gmail.com

جدول ۳- خطاهای ایزوله شده توسط ماتریس ساختاری ساده شده نهایی

مجموعه معادلات	خطاهای ایزوله شده
e_2, e_4	f_{p_1}, f_{T_1}
e_1, e_2, e_3	f_{p_1}, f_{T_1}
e_1, e_3, e_5	f_{p_1}, f_{T_1}
e_2, e_3, e_4	$f_{p_1}, f_{p_2}, f_{T_1}$
e_2, e_4, e_5	$f_{p_1}, f_{p_2}, f_{T_1}$
e_1, e_2, e_3, e_4	$f_{p_1}, f_{p_2}, f_{T_1}$

جدول ۴- خطاهای ایزوله شده نهایی با واارد کردن فرض ساده ساز در معادله ۵

مجموعه معادلات	خطاهای ایزوله شده نهایی
e_2, e_4	f_{p_1}, f_{T_1}
e_1, e_2, e_3	f_{p_1}
e_1, e_3, e_5	f_{T_1}
e_2, e_3, e_4	f_{p_1}, f_{p_2}
e_2, e_4, e_5	$f_{p_1}, f_{p_2}, f_{T_1}$
e_1, e_2, e_3, e_4	f_{p_1}, f_{p_2}

همان طور که ملاحظه می شود f_{p_1} و f_{T_1} ، که خطاهای مربوط به دو سنسور می باشند، متغیرهای مستقل و اصلی هستند و طبق معادلات جدول شماره ۴ قابل محاسبه‌اند، ولی خطاهای مربوط به سنسور دمای خروجی یعنی f_{p_1} که به دلیل حذف معادله ۶ در روند تشکیل ماتریس‌ها از معادلات حذف شده بود، قابل محاسبه نمی‌باشد و وابسته به تمام متغیرها بوده و قابل ایزوله شدن نخواهد بود.

نتیجه گیری

- ۱- به منظور بالا بودن قابلیت اعتماد در نتایج عیب یابی می‌بایست داده‌های اندازه‌گیری شده قبل از ورود به سیستم عیب یابی اصلاح و خالص سازی شوند.
- ۲- با استفاده از الگوریتم ساختاری می‌توان خطاهای بعضی از سنسورهای موجود را شناسایی و ایزوله کرد.
- ۳- با توجه به نتایج الگوریتم که در جدول شماره ۳ نمایش داده شده است می‌توان دریافت که هر چه مدل ریاضی سیستم دقیق‌تر باشد تخمین مقدار خطاهای ایزوله شده به مقدار حقیقی آنها نزدیک‌تر خواهد بود.

مراجع

1. Mattias Krysander., Design and Analysis Of Diagnostic Systems Utilizing Structural Methods. Department Of Electrical Engineering, Linkoping University, Master Thesis No. 1038, 2003..
2. Walsh, P. P., and Fletcher, P., Gas Turbine Performance. Blackwell Science, USA, 2004
3. Michael Lichtenfels, Yeshayahu Levy., Jet Engine Model for Control and Real-Time Simulations. Journal of Engineering for Gas

جدول ۱- پارامترهای مربوط به مدل کاربردی کمپرسور

x	x_{p_1} x_{T_1}	مقدار واقعی تعییرات فشار خروجی کمپرسور مقدار واقعی دمای خروجی کمپرسور
y	y_{p_1} y_{T_1} y_{p_2}	مقدار اندازه‌گیری شده فشار در خروجی کمپرسور مقدار اندازه‌گیری شده دمای خروجی کمپرسور مقدار اندازه‌گیری شده دمای خروجی کمپرسور
f	f_{p_1} f_{T_1} f_{p_2}	مقدار خطای موجود در اندازه‌گیری فشار خروجی کمپرسور مقدار خطای موجود در اندازه‌گیری دمای خروجی کمپرسور مقدار خطای موجود در اندازه‌گیری دمای خروجی کمپرسور

جدول ۲- روابط حاکم بر پارامترهای مدل کاربردی کمپرسور

رابطه مدل سیستم	$e_1(x_{p_1}, x_{T_1}) = 0$
رابطه مدل سنسور و سیگنالها	$e_2(y_{p_1}, x_{T_1}, f_{p_1}) = 0$
	$e_3(y_{p_2}, x_{p_1}, f_{p_2}) = 0$
	$e_4(y_{T_1}, x_{T_1}, f_{T_1}) = 0$
رابطه مدل خطای	$e_5(f_{T_1}) = 0$

حال با توجه به روابط مطرح شده در جدول ۲، می‌توان ماتریس ساختاری متناظر با این معادلات را در شکل ۲ ارائه نمود.

همانطور که در ماتریس شکل ۲ ملاحظه می‌شود، در ردیف مربوط به هر معادله، در صورت وجود پارامتر مربوطه در آن معادله، عدد صفر قرار می‌دهیم. از طرف دیگر، سه دسته متغیر x، y و f را بصورت جداگانه چیدمانی می‌کنیم.

با مشتق گیری از معادلات ۶ تا ۶، به مشتق ماتریس ساختاری شکل ۳ می‌رسیم. بنابر الگوی روش، به دلیل وجود حداقل یک پارامتر با مشتق مرتبه اول، از معادلات ۱، ۴ و ۵ مشتق گیری نمی‌کنیم.

از این مرحله، تمرکز خود را به ستون x های ماتریس شکل ۳ جلب کرده و با توجه به تعداد معادلات و متغیرها، متغیر پایه را از بین $x_{p_1}, x_{T_1}, x_{p_2}$ و f_{T_1} شناسایی می‌کنیم. در اینجا متغیر پایه f_{T_1} می‌باشد. سپس تمام ترکیبات معادلاتی که از آن ها حاصل می‌شود را می‌یابیم. از روی این مجموعه معادلات ترکیباتی از معادلات که متغیر اضافی آنها متابه می‌باشد را کنار می‌گذاریم. در این صورت به ماتریس ساختاری ساده شده شکل ۴ می‌رسیم.

در این قسمت با توجه به ماتریس نهایی به دست آمده در شکل ۵ جدول شماره ۳ را برای خطاهای قابل ایزوله شدن تشکیل می‌دهیم. با فرض صفر بودن f_{T_1} از معادله ۵ به جدول شماره ۴ می‌رسیم.

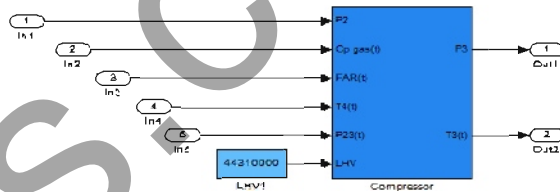
e_2, \bar{e}_4	\cdot	\cdot	\cdot	\cdot	\cdot	\cdot	\cdot	\cdot	\cdot	\cdot	\cdot	\cdot	
	x_{T_1}	f_{T_1}	$f_{\bar{T}_1}$	f_{P_1}	$f_{\bar{P}_1}$	f_{-3}	f_{w_1}	y_{w_1}	$y_{\bar{w}_1}$	y_{T_1}	$y_{\bar{T}_1}$	y_{P_1}	$y_{\bar{P}_1}$

شکل ۴- تمایش ماتریس ساختاری ساده شده

$\mathcal{E}_2, \mathcal{E}_4$
$\mathcal{E}_1, \mathcal{E}_3, \mathcal{E}_4$
$\mathcal{E}_1, \mathcal{E}_2, \mathcal{E}_3$
$\mathcal{E}_2, \mathcal{E}_3, \mathcal{E}_4$
$\mathcal{E}_1, \mathcal{E}_4, \mathcal{E}_4$
$\mathcal{E}_1, \mathcal{E}_2, \mathcal{E}_3, \mathcal{E}_4$

شکل ۵- نمایش ماتریس ساختاری ساده شده نهایی

شکل‌ها و نمودارها



شکل ۱- زیر سیستم شبیه ساز عملکرد کمپرسور

شکل ۲- نمایش ماتریس ساختاری مدل

a_1
a_2
a_3
a_4
a_5
a_6
a_7
x_{T_1}	x_{T_1}	x_{P_1}	x_{P_1}	x_{P_1}	f_{T_1}	f_{T_1}	f_{P_1}	f_{P_1}	f_{w_1}	y_{w_1}	y_{w_2}	y_{T_1}	y_{T_1}	y_{P_1}	y_{P_1}

شکل ۳- نمایش مشتق ماتریس ساختاری مدل

θ_4	>	*		*
θ_2	*			*
θ_1, θ_3	*			*